

# PHYSIQUE II

## **Étude de quelques aspects du phénomène de résonance**

Les quatre parties de ce problème sont largement indépendantes.

### **Partie I - Étude d'un circuit RLC**

#### **I.A - Résonance série**

Le dipôle de la figure 1 (une bobine d'inductance  $L$  et de résistance  $R$  est montée en série avec un condensateur de capacité  $C$ ), alimenté par une tension sinusoïdale

$$E = E_0 \cos \omega t$$

de pulsation  $\omega$  variable, est parcouru par un courant

$$I = I_0 \cos(\omega t - \varphi).$$

I.A.1) Exprimer l'impédance complexe  $Z_s$  de ce dipôle.

I.A.2) En déduire l'impédance (réelle)  $Z_s$  de ce dipôle et le retard de phase  $\varphi$  du courant  $I$  sur la tension  $E$  en fonction de la pulsation propre

$$\omega_0 = \frac{1}{\sqrt{LC}}$$

et du facteur de qualité

$$Q = \frac{L\omega_0}{R}$$

de ce circuit.

I.A.3) Tracer le graphe du rapport

$$\frac{Z_s}{R}$$

en fonction du rapport

$$x = \frac{\omega}{\omega_0}.$$

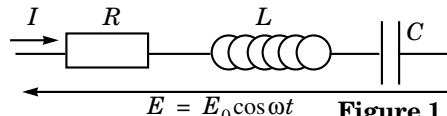


Figure 1

# Filière TSI

I.A.4) Quelle est la valeur maximale  $I_{0\text{Max}}$  de l'amplitude  $I_0$  du courant ? Pour quelle valeur de la pulsation est-elle atteinte ?

Tracer les graphes du rapport

$$\frac{I_0}{I_{0\text{Max}}}$$

et de la phase  $\varphi$  en fonction de  $x$ .

I.A.5) L'acuité de la résonance est définie par le rapport

$$A = \frac{\Delta\omega}{\omega_0} \text{ où } \Delta\omega = \omega_2 - \omega_1 \text{ (avec } \omega_2 > \omega_1 \text{ )}$$

représente la bande de pulsations dans laquelle l'amplitude du courant vérifie

$$I_0(\omega) \geq \frac{I_{0\text{ Max}}}{\sqrt{2}}.$$

Déterminer  $A$  en fonction de  $Q$ . Dans quel domaine varie la phase  $\varphi$  pour  $\omega \in [\omega_2, \omega_1]$  ?

#### **I.B - Résonance parallèle**

On considère maintenant le dipôle de la figure 2 (la bobine  $L$ ,  $R$  est montée en dérivation avec le condensateur  $C$ ), alimenté par la tension sinusoïdale  $E = E_0 \cos \omega t$  de pulsation  $\omega$  variable.

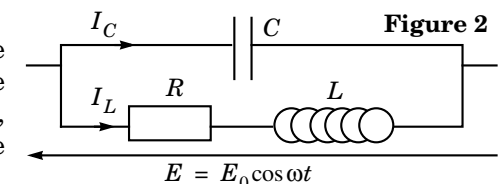


Figure 2

I.B.1) Exprimer l'impédance complexe  $Z_P$  de ce dipôle en fonction de  $R$ ,  $L$ ,  $C$  et  $\omega$ .

I.B.2) En déduire l'expression  $Z_P$  en fonction de  $R$ ,  $C$ ,  $\omega$ ,  $Q$ ,  $\omega_0$  et  $Z_s$  ( $Q$ ,  $\omega_0$  et  $Z_s$  ayant été définis à la question précédente).

I.B.3) Montrer que, lorsque le facteur de qualité est très élevé ( $Q \gg 1$ ) et la pulsation  $\omega$  pas trop faible

$$\left( Q \frac{\omega}{\omega_0} \gg 1 \right),$$

$Z_P$  peut se mettre sous la forme approchée :

$$\underline{Z}_P \approx \frac{\underline{Q}^2 R^2}{\underline{Z}_s}.$$

On utilisera ce résultat dans toute la suite de la question I.B.

I.B.4) Quelle est la valeur de  $\underline{Z}_P$  pour la pulsation  $\omega_0$ ? Quel est alors le comportement de ce circuit?

I.B.5) On suppose  $\omega = \omega_0$ . Déterminer les valeurs approximatives des intensités réelles  $I_L$  et  $I_C$  qui traversent respectivement la bobine et le condensateur en fonction de  $R$ ,  $Q$ ,  $\omega$ , du temps  $t$  et de l'amplitude  $E_0$  de la tension d'alimentation du dipôle. Commenter les résultats obtenus.

## Partie II - Étude d'un montage électronique

**II.A** - Dans le montage amplificateur de la figure 3, l'amplificateur opérationnel est supposé idéal et fonctionne en régime linéaire. Alimenté par une tension d'entrée  $V_E$ , il délivre une tension de sortie  $V_S$ .

Calculer le rapport  $\frac{V_S}{V_E}$ . Que vaut le courant d'entrée  $I_E$ ?

**II.B** - La figure 4 représente de manière symbolique l'amplificateur de tension équivalent au circuit de la figure 3. Déterminer le gain  $G$  ( $G$  est une constante réelle et positive), la résistance d'entrée  $R_E$  et la résistance de sortie  $R_S$  de cet amplificateur.

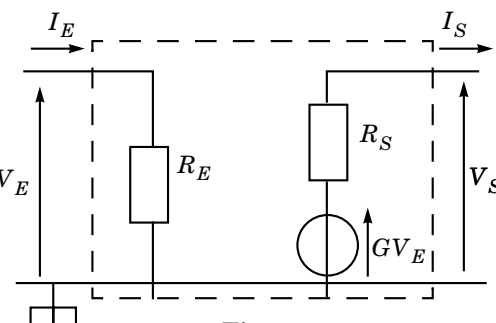
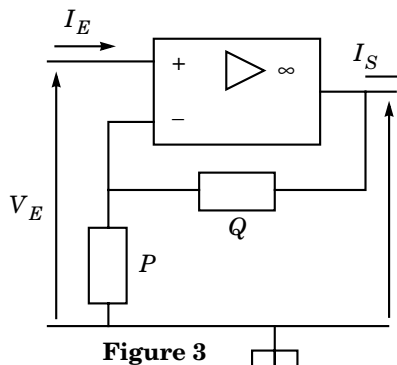


Figure 3

Figure 4

**II.C** - On considère le circuit de la figure 5 contenant deux amplificateurs de tension tels que celui représenté figure 4, l'un de gain  $G_1 = 1$  et l'autre de gain  $G_2$  légèrement inférieur à 2. On pose

$$\omega_0 = \frac{1}{RC}.$$

II.C.1) Ce circuit est alimenté par une tension sinusoïdale  $E = E_0 \cos \omega t$  de pulsation  $\omega$  variable ; déterminer le rapport  $\underline{H}$  entre les tensions complexes de sortie  $\underline{S}$  et d'entrée  $\underline{E}$  :

$$\underline{H} = \frac{\underline{S}}{\underline{E}} \text{ en fonction de } G_2 \text{ et du rapport } x = \frac{\omega}{\omega_0}.$$

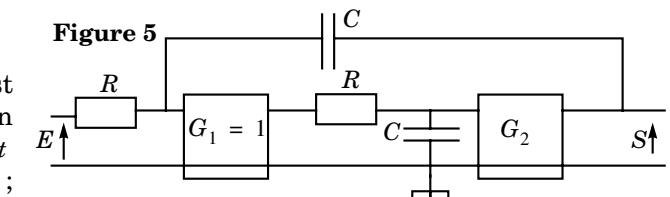


Figure 5

II.C.2) Calculer le module  $H$  de  $\underline{H}$  en fonction de  $x$ . Déterminer en particulier la valeur maximale  $H_{\text{Max}}$  de  $H$ . Pour quelle valeur de la pulsation est-elle atteinte (ne pas oublier que  $G_2$  est voisin de 2 tout en étant inférieur à 2)? Calculer l'acuité de la résonance  $A$  en fonction de  $G_2$  ( $A$  a été définie dans la partie I). Comment peut-on faire varier facilement cette acuité?

II.C.3) Tracer le graphe de  $H$  en fonction de  $x$ .

II.C.4) On suppose  $R = 100 \text{ k}\Omega$ ,  $C = 1\mu\text{F}$ ,  $G_2 = 1,8$ . Le circuit est maintenant alimenté par une tension  $E(t)$  rectangulaire périodique de période  $T = 1 \text{ ms}$ , de rapport cyclique

$$a = \frac{T_1}{T} = 0,2$$

et d'amplitude

$$E_0 = 1 \text{ V},$$

représentée figure 6. Déterminer la valeur de la tension de sortie  $S$  en régime établi, compte tenu des valeurs numériques.

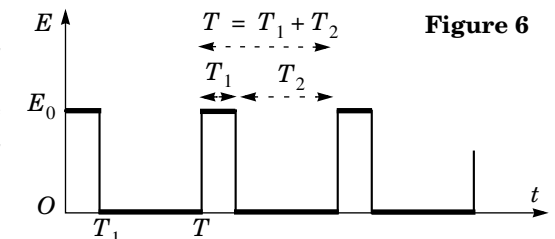


Figure 6

### Partie III - Oscillations d'une bobine dans un champ magnétique

Dans le référentiel ( $Oxyz$  : vecteurs unitaires  $\vec{e}_x, \vec{e}_y, \vec{e}_z$ ), supposé galiléen, une bobine  $MNPQ$ , plate, rigide, de forme carrée de côté  $a$ , constituée de  $N$  spires (d'un fil homogène de section négligeable) jointives, de résistance  $R$ , d'inductance négligeable, peut tourner autour de l'axe  $Oz$  sans frottement. L'axe  $Oz$  coïncide avec l'axe de symétrie de la bobine et on désigne par  $J$  le moment d'inertie de celle-ci par rapport à  $Oz$ . Cette bobine est plongée dans un champ magnétique radial  $\vec{B}_0$ , perpendiculaire à  $Oz$ , qui règne dans les entrefers formés par les pôles d'un aimant permanent et un noyau cylindrique intérieur en fer. Elle est reliée à un générateur de tension sinusoïdale  $E = E_0 \cos \omega t$  et, en régime sinusoïdal établi, elle est parcourue par un courant sinusoïdal  $I$ ; sa position est repérée par l'angle  $\theta = (\vec{e}_x, \vec{n})$ ,  $\vec{n}$  désignant le vecteur unitaire normal à la bobine (figures 7 et 8).

Enfin, la bobine est soumise à l'action d'un ressort spiral qui exerce un couple de rappel  $\vec{\Gamma} = -k\theta \vec{e}_z$ . On supposera que la norme  $B_0$  du champ  $\vec{B}_0$  agit sur toute la longueur  $a$  des côtés opposés  $MN$  et  $PQ$  et est supposée constante dans le domaine de variation de  $\theta$ .

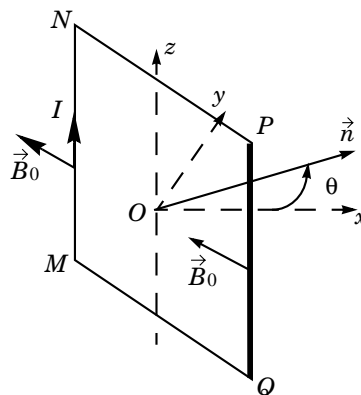


Figure 7 : l'aimant et le noyau ne sont pas représentés

**III.A** - Quel est le moment des efforts de Laplace qui s'exercent sur le côté  $MN$ ? Sur le côté  $PQ$ ? En déduire celui qui s'exerce sur la bobine puis « l'équation différentielle mécanique » qui relie les variables  $\theta$  et  $I$ .

**III.B** - Exprimer la force électromotrice d'induction induite par le mouvement de la bobine, puis écrire « l'équation différentielle électrique » qui relie les variables  $\theta$  et  $I$ .

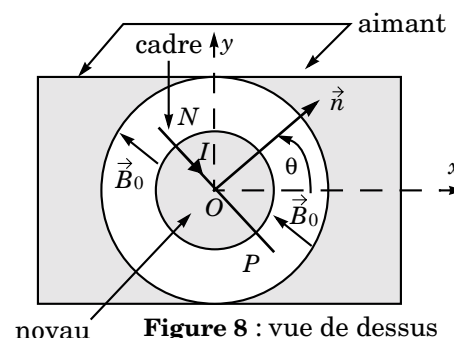


Figure 8 : vue de dessus

**III.C** - En déduire que l'équation différentielle à laquelle satisfait l'angle  $\theta$  se met sous la forme :

$$\ddot{\theta} + h\dot{\theta} + k\theta = s \cos \omega t$$

et exprimer les coefficients constants  $h$  et  $s$  en fonction de la constante  $\phi_0 = Na^2 B_0$ , de  $R$  et  $E_0$ .

**III.D** - On pose

$$\omega_0^2 = \frac{k}{J}, 2\epsilon\omega_0 = \frac{h}{J}, D = \frac{s}{k} \text{ et on suppose } \epsilon \ll 1 \text{ USI.}$$

En quelles unités se mesurent respectivement les coefficients  $\omega_0$ ,  $\epsilon$  et  $D$ ? Justifier brièvement vos réponses.

**III.E** - En régime sinusoïdal établi, on cherche une solution de la forme

$$\theta = \theta_0 \cos(\omega t - \varphi).$$

Exprimer l'amplitude  $\theta_0$  des oscillations en fonction de  $D$ ,  $\epsilon$ ,  $\omega_0$  et  $\omega$ . Comparer l'expression du rapport

$$\frac{\theta_0}{D} \text{ et celle de } H \text{ obtenue lors de la partie II.}$$

Quelle est l'expression du facteur correspondant au coefficient  $\epsilon$  dans l'expression de  $H$ ?

**III.F** - Déterminer la valeur maximale  $\theta_{0 \text{ Max}}$  de l'amplitude  $\theta_0$  de l'oscillation de la bobine. Pour quelle valeur de la pulsation est-elle atteinte (ne pas oublier que  $\epsilon \ll 1$  USI)? Déterminer également la valeur de l'acuité  $A$  de la résonance mécanique de la bobine.

**III.G** - Application numérique : on donne

$$\omega_0 = 1 \text{ USI}, \epsilon = 0,1 \text{ USI}, D = 0,1 \text{ USI.}$$

**III.G.1)** Calculer  $\theta_{0 \text{ Max}}$ .

**III.G.2)** Quel est le mouvement de la bobine lorsqu'elle est alimentée par une tension sinusoïdale de fréquence  $f > 20$  Hz? Pourquoi évoque-t-on ce domaine de fréquences? Quel paramètre faudrait-il modifier si l'on souhaite que la bobine puisse détecter de manière significative un faible courant de fréquence  $f = 100$  Hz?

**III.H** - Quel intérêt peut présenter un montage électronique tel que celui de la figure 5?

## Partie IV - Oscillations d'une tige

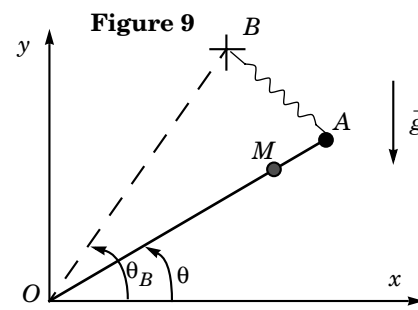
Sur une tige  $OA$ , de masse négligeable et de longueur  $a$ , est soudé à une distance  $OM = b$  ( $b < a$ ) un point matériel de masse  $m$ . Cette tige peut osciller sans frottement autour de l'axe  $Oz$  horizontal du référentiel ( $Oxyz$  : vecteurs unitaires  $\vec{e}_x, \vec{e}_y, \vec{e}_z$ ), et sa position est repérée par l'angle

$$\theta = (\vec{e}_x, \vec{OA}).$$

Un ressort relie l'extrémité  $A$  de la tige à un point  $B$  fixe dont la position est définie par la longueur  $OB = a$  et l'angle constant

$$\theta_B = (\vec{e}_x, \vec{OB});$$

ce ressort exerce sur la tige en  $A$  une force  $\vec{F}$  proportionnelle à sa longueur soit  $\vec{F} = k \cdot \vec{AB}$  ( $k$  désignant une constante positive). Enfin, l'air ambiant exerce sur la tige un couple de frottement fluide  $\vec{\Gamma} = -h\theta \vec{e}_z$  de faible intensité. L'accélération de la pesanteur vaut  $g = 9,81 \text{ m} \cdot \text{s}^{-2}$  (figure 9).



**IV.A** - Montrer que le moment cinétique de la tige  $OA$  dans le référentiel ( $Oxyz$ ) se met sous la forme :

$$\vec{L}_0 = \alpha mb^2 \dot{\theta} \vec{e}_z$$

et donner la valeur de la constante  $\alpha$ .

**IV.B** - Le référentiel ( $Oxyz$ ) lié au sol est supposé galiléen.

**IV.B.1)** En appliquant le théorème du moment cinétique en  $O$  à la tige  $OA$ , dans le référentiel ( $Oxyz$ ), en projection sur l'axe  $Oz$ , déterminer l'équation différentielle à laquelle satisfait l'angle  $\theta$ .

**IV.B.2)** Quelle est la position d'équilibre  $\theta_E$  de la tige ? On souhaite que  $\theta_E$  soit nul. Quelles conditions doivent vérifier les différents paramètres pour qu'il en soit ainsi ? *On supposera cette condition remplie dans toute la suite.*

**IV.C** - On suppose que le sol, et donc le référentiel ( $Oxyz$ ), est animé d'un mouvement de translation vertical et sinusoïdal de pulsation  $\omega$  et d'amplitude  $y_0$  soit :

$$y = y_0 \cos \omega t.$$

**IV.C.1)** Quelle est, dans le référentiel non galiléen ( $Oxyz$ ), l'expression de la force d'inertie d'entraînement qui s'exerce sur la tige  $OA$  ? Quelle est celle de

son moment par rapport à  $O$  ? Quelles sont les expressions correspondantes relatives à la force d'inertie de Coriolis ?

**IV.C.2)** En appliquant le théorème du moment cinétique en  $O$  à la tige  $OA$ , dans le référentiel ( $Oxyz$ ), en projection sur l'axe  $Oz$ , déterminer la nouvelle équation différentielle à laquelle satisfait l'angle  $\theta$ .

**IV.C.3)** On pose

$$\omega_0^2 = \frac{g}{b \tan \theta_B}, \quad 2\lambda \omega_0 = \frac{h}{mb^2} \quad \text{et on suppose } \lambda \ll 1.$$

On suppose que  $\theta$  reste petit et, en régime sinusoïdal établi, on cherche une solution de la forme  $\theta = \theta_0 \cos(\omega t - \varphi)$ . Exprimer l'amplitude  $\theta_0$  des oscillations en fonction de  $y_0$ ,  $\lambda$ ,  $\omega_0$ ,  $b$  et  $\omega$ .

**IV.C.4)** Quelle est la valeur maximale  $\theta_{0\text{Max}}$  de l'amplitude  $\theta_0$  des oscillations ? Pour quelle valeur de la pulsation est-elle atteinte (ne pas oublier que  $\lambda \ll 1$ ) ? Déterminer également la valeur de l'acuité  $A$  de la résonance.

**IV.C.5)** Tracer le graphe du rapport

$$\frac{b\theta_0}{y_0}$$

en fonction du rapport

$$x = \frac{\omega}{\omega_0}.$$

**IV.C.6)** Quel peut être l'intérêt de ce dispositif ?

**IV.C.7)** Application numérique : on donne  $b = 10 \text{ cm}$ ,  $\lambda = 0,1$ . Le sol vibre à la fréquence  $f = 0,1 \text{ Hz}$  avec une amplitude  $y_0 = 1 \text{ mm}$ . Quel paramètre peut-on facilement régler pour obtenir la résonance de la tige à la fréquence  $f$  de vibration du sol ? Donner la valeur numérique correspondante de ce paramètre. Calculer la valeur numérique de  $\theta_{0\text{Max}}$ .

---

••• FIN •••

---